

## 自然平衡形3層の理論的解析

東北大学大学院 学生員。今野 弘  
東北大学工学部 正員 佐藤 敏久  
東北大学工学部 学生員 佐藤 善彦

### 1. はじめに

急速3層池における3層流量の調節や設定は3層操作上重要な因子の一つでありながら根本的な解析は少なくて  
藤田<sup>\*</sup>にみられる程度である。3層実験を行なうにしても3層が閉塞する過程において3層の調節や3層池の  
流下特性を把握してないために3層の急変を予えたりするほど3層現象を一変させる操作を行なう懸念がある。

そこで、初期の設定値が変化しなければ3層池の特性によって完全に流量平衡を保つことができる自然平衡形  
3層を取り上げ、あえてその理論的解析の検討結果を報告し、3層池のみならず実験的な手法の一助としている。

### 2. 自然平衡形3層の理論的解析

#### 1) 損失水頭、3層の変化

図-1において全ての3層抵抗は $k$ であり、次のように表わすことができる。

$$h = K_1 u_0 + (K_2 + K_3) u_0^2 \quad (1)$$

$h$ : 総損失水頭,  $u_0$ : 3層(流出流速)

$K_1$ : 3枚による抵抗の係数、たとえば Kozeny-Carman 式  
では  $K_1 = \frac{k}{4} \frac{(1 - P_0)^2}{P_0^3} \frac{\nu}{g d^2}$

$K_2$ : 3層支持板による抵抗の係数

$K_3$ : 3層支持板以下流出端までの種々の抵抗の係数

たとえば、 $K_3 = \frac{f_0}{2g} + \frac{f_1}{2g} + \frac{f_2}{2g} + f \frac{l}{2gD} + \dots$

$f_0, f_1, f_2, f$ : 流入、流出、曲がり、摩擦による損失係数

式(1)より、

$$u_0 = \frac{-K_1 + \sqrt{K_1^2 + 4h(K_2 + K_3)}}{2(K_2 + K_3)} \quad (2)$$

流量の連続の式は

$$A_2 \frac{dh}{dx} = A_1 (u_i - u_0) \quad (3)$$

式(2)を式(3)に代入すると、

$$\frac{dh}{u_i + \frac{K_1 - \sqrt{K_1^2 + 4h(K_2 + K_3)}}{2(K_2 + K_3)}} = \frac{A_1}{A_2} dx \quad (4)$$

実際の3層においては、3層の進行に伴って3層の空  
気率が小さくなつて $K_1$ は増大するが実験時間を考え、  
 $K_1 = \text{const.}$ として取り扱う。式(4)を積分して整理すると、

$$h = u_i K_1 \left[ 1 - \exp \left\{ \frac{-\frac{A_1}{A_2} x + K_1 - \sqrt{K_1^2 + 4h(K_2 + K_3)}}{2(K_2 + K_3) u_i + K_1} \right\} \right] + (K_2 + K_3) u_i^2 \left[ 1 - \exp \left\{ \frac{-\frac{A_1}{A_2} x + K_1 - \sqrt{K_1^2 + 4h(K_2 + K_3)}}{2(K_2 + K_3) u_i + K_1} \right\} \right]^2 \quad (5)$$

よつて、全ての3層抵抗を含んだ場合の損失水頭の時  
間的変化は式(5)のようく表わすことができる。

藤田は、 $K_1 \gg K_2, K_3$ であるとして $h$ の時間的変化  
を表わしたが、この条件を式(5)に適用すると、

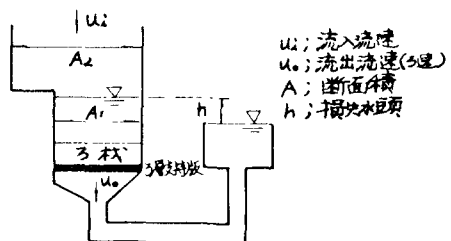


図-1 自然平衡形3層模式図

$$h = u_i K_1 \left\{ 1 - \exp \left( -\frac{A_1}{A_2 K_1} x \right) \right\} \quad (6)$$

となり、藤田の説明した式と同じになる。

また、 $A_1/A_2 = 1$ ,  $K_1 = 0 = K_2$  の条件では、

$$h = K_3 u_i^2 \left\{ 1 - \exp \left( -\frac{x - 2\sqrt{K_3} h}{2 K_3 u_i} \right) \right\}^2 \quad (7)$$

これらの各条件での3層 $u_0$ は、

$K_1 \gg K_2, K_3$  のとき、

$$u_0 = u_i \left\{ 1 - \exp \left( -\frac{A_1}{A_2 K_1} x \right) \right\} \quad (8)$$

$A_1/A_2 = 1$ ,  $K_1 = 0 = K_2$  のとき、

$$u_0^2 = u_i^2 \left\{ 1 - \exp \left( -\frac{x - 2\sqrt{K_3} h}{2 K_3 u_i} \right) \right\}^2 \quad (9)$$

または、

$$u_0 = u_i \left\{ 1 - \exp \left( -\frac{x - 2\sqrt{K_3} h}{2 K_3 u_i} \right) \right\} \quad (10)$$

式(6)と(8)、式(7)と(9)を見比べるとわかるように、

$h$ と $u_0$ 、 $h$ と $u_0^2$ は時間的に同様に変化するといふが  
わざり、3層 $u_0$ は時間の経過に伴つて指數関数的に  
流入流速 $u_i$ に漸近する。

後の実験的検討からわかつるよう $K_1 \gg K_3$ の仮定  
は一般には成立せず、一概に式(6)、(8)を適用するとい  
はできない。これらの式から次のようすがわかる。

(1) 一般には、損失水頭やろ速を一つのデータとして使用するがその際  $K_3$  の影響を無視できるようなデータをとるように配慮する必要がある。

(2) 理論式は  $u_i = 0 \rightarrow u_i$ ,  $u_i = u_i \rightarrow u_i + \alpha u_i$  などに流入流速(あるいは流入流量)を変更する際にも適用できるので、逆の見方をすればろ速を連続的に変化させることが可能である。しかも  $A_1/A_2$  の値を変えると、その変化特性によって瞬間的推移の変化曲線を調節することができる。

## 2) 流入を停止したときの水位変化

流入を停止する直前の損失水頭を  $h_f$ 、そのときのろ速を  $u_f$  とすると、式(1)から

$$h_f = K_1 u_f + (K_2 + K_3) u_f^2 \quad (11)$$

流量の連続の式は

$$A_2 \frac{dh}{dt} = - A_2 u_0 \quad (12)$$

式(11)より、

$$K_2 + K_3 = \frac{h_f - K_1 u_f}{u_f^2} \quad (13)$$

式(13)を式(2)に代入し、それをさらに式(12)に代入して整理し、損失水頭が  $h_f$  から  $h$  に達するまでの時間  $t$  として積分すると、

$$t = \sqrt{K_1^2 + 4 h_f \frac{h_f - K_1 u_f}{u_f^2}} - \sqrt{K_1^2 + 4 h \frac{h_f - K_1 u_f}{u_f^2}} + K_1 \ln \frac{\sqrt{1 + 4 h_f \frac{h_f - K_1 u_f}{K_1^2 u_f^2}} - 1}{\sqrt{1 + 4 h \frac{h_f - K_1 u_f}{K_1^2 u_f^2}} - 1}$$

$K_1 = 0$  とすると、

$$t = 2 \frac{\sqrt{h_f}}{u_f} (\sqrt{h_f} - \sqrt{h})$$

$K_1 \gg K_2, K_3$  では

$$t = \frac{h_f}{u_f} \ln \frac{h_f}{h}$$

となる。

## 3. 理論式の実験的検討

図-2は  $K_2, K_3$  を求めるための実験結果で、図-3, 4, 5はそれと理論式と実験値を比較したものである。

図-2において勾配はそれぞれの  $K$  を表すことにばらつきがある。層流の場合の損失水頭への寄与率は考える必要がないと思われる。ただ、切片を有しているが、これは流出端での液量を測定したロータメーターによる水頭損失分である。図-4, 5においてはロータメーターによる損失分を考慮した結果を合わせて示している。図-3, 4, 5をみるとわかるように理論式は大略現象を追隨していると考えられる。

参考文献； 藤田賢二：急速砂ろ過池における流量調節方式の理論的解析、水道協会雑誌 No. 423, 昭和44. 12

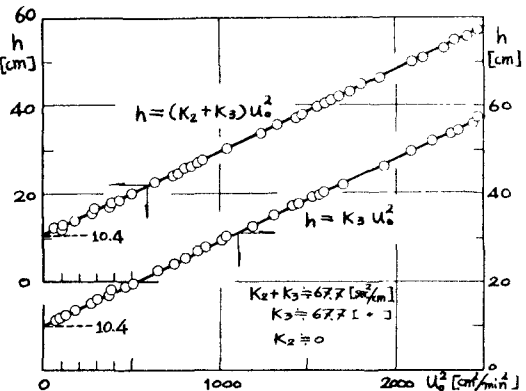


図-2  $K_1=0=K_2, K_3=0$  の条件での  $h$  と  $U_0^2$  の関係

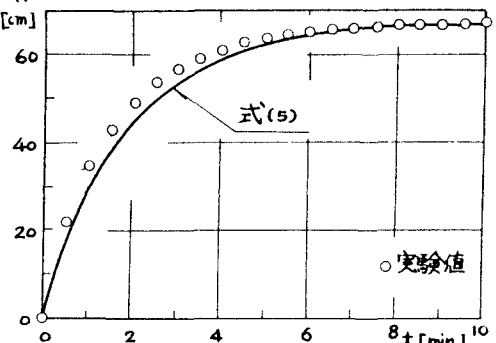


図-3 損失水頭の時間的変化

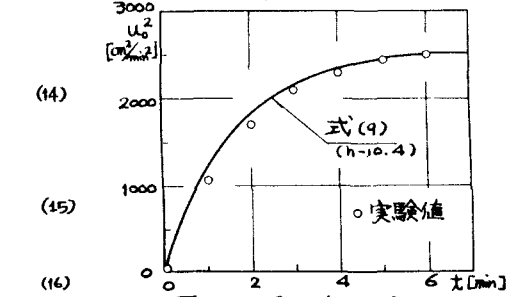


図-4  $U_0^2$  の時間的変化

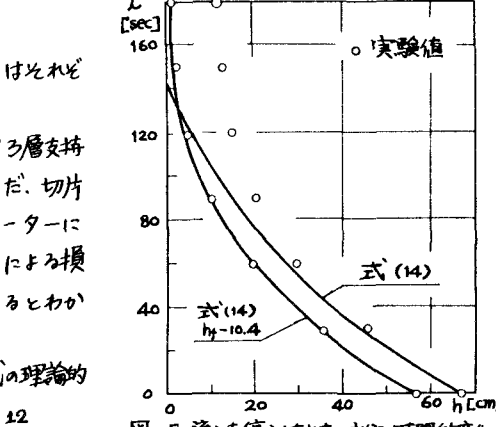


図-5 流入を停止したときの水位の時間的変化